

# 改进的固相法制备电解质锂盐 LiBOB 及其纯度测定

张丽娟<sup>1,3</sup>, 孙菁<sup>2</sup>, 李法强<sup>1</sup>, 任齐都<sup>1,3</sup>, 王连亮<sup>1,3</sup>

(1. 中国科学院 青海盐湖研究所, 青海 西宁, 810008;  
2. 中国科学院 西北高原生物研究所, 青海 西宁, 810001;  
3. 中国科学院 研究生院, 北京, 100039)

**摘要:**用改进的固相法合成一种新型电解质锂盐——双乙二酸硼酸锂(LiBOB):首先将脱去结晶水的  $H_2C_2O_4 \cdot 2H_2O$  与  $LiOH \cdot H_2O$  研磨混匀, 在 60℃ 预热 2 h 后分批加入  $H_3BO_3$ , 然后, 于真空条件下在 70℃ 和 100℃ 分别保温 6 h 和 3 h, 得到 LiBOB 粗产品。对 LiBOB 粗产品用重蒸乙腈进行 2 次纯化, 分别对 2 次提纯后的 LiBOB 样品纯度进行测定。用经 2 次提纯后的 LiBOB 配制成 0.7 mol/L LiBOB-PC/EMC/DMC ( $V(LiBOB):V(EMC):V(DMC)=1:1:1$ ) 电解液, 并在 -40.0~60.0℃ 对其电导率进行测定。用该电解液体系组装电池, 进一步测定电池的循环性能。研究结果表明: 1 次纯化后的样品纯度 98.1%, 2 次纯化后的样品纯度 99.6%; LiBOB 所配制的电解液在较宽温度范围内的电导率较高, 说明所制 LiBOB 已达到用作电池电解质锂盐的标准。

**关键词:** 锂离子电池; 电解质; 双乙二酸硼酸锂(LiBOB); 固相法; 纯度测定

中图分类号: TM912.9

文献标志码: A

文章编号: 1672-7207(2010)01-0067-06

## Preparation by improved solid-state method and purity determination of LiBOB

ZHANG Li-juan<sup>1,3</sup>, SUN Jing<sup>2</sup>, LI Fa-qiang<sup>1</sup>, REN Qi-du<sup>1,3</sup>, WANG Lian-liang<sup>1,3</sup>

(1. Qinghai Institute of Salt Lakes, Chinese Academy of Sciences, Xining 810008, China;  
2. Northwest Institute of Plateau Biology, Chinese Academy of Sciences, Xining 810001, China;  
3. Graduate University, Chinese Academy of Sciences, Beijing 100039, China)

**Abstract:** LiBOB was synthesized by an improved solid-state method.  $H_2C_2O_4 \cdot 2H_2O$  was dehydrated to get anhydrous  $H_2C_2O_4$ , and  $H_2C_2O_4 \cdot 2H_2O$  was mortared with  $LiOH \cdot H_2O$ . The mixture of  $H_2C_2O_4$  and  $LiOH \cdot H_2O$  was preheated at 60℃ for 2 h before adding  $H_3BO_3$  in several times to be mortared. In vacuum dryer, the mixture of the three starting materials was preheated in two steps: at 70℃ for 6 h and then at 100℃ for 3 h. The product was purified twice. The content of purified LiBOB was determined. Conductivities of LiBOB dissolved in various ternary solvent blends were measured with the change of temperature from -40.0 to 60.0℃. The cycle performance of cells based on LiBOB was tested. The results show that the purity of the obtained sample is larger than 98.1% in the first time and larger than 99.6% in the second time. 0.7 mol/L LiBOB-PC/EMC/DMC ( $V(LiBOB):V(EMC):V(DMC)=1:1:1$ ) has higher conductivities in a wide temperature range, and the LiBOB sample meets the requirement of Li-ion battery.

**Key words:** Li-ion battery; electrolyte; LiBOB; solid-state method; purity determination

锂离子电池自 20 世纪 90 年代问世以来，以其高能量密度、长循环寿命等优点备受关注，并在各个领域发挥了重要作用<sup>[1~3]</sup>。电解质锂盐是锂离子二次电池的重要组成部分，其中，LiPF<sub>6</sub>已被应用于锂电池中且实现了商业化，但 LiPF<sub>6</sub> 仍然存在一些缺点，如：热稳定性较差，易于分解成 LiF 和 PF<sub>5</sub>，而 PF<sub>5</sub> 易于水解形成 HF 和 PF<sub>3</sub>O，对电池的性能产生有害的影响<sup>[4]</sup>。因此，研究新型电解质锂盐非常重要。在众多的新型锂盐中，LiBOB 显示了其独特的优越性，已引起了广泛关注，并有望代替 LiPF<sub>6</sub><sup>[5]</sup>。与 LiPF<sub>6</sub> 相比较，LiBOB 具有以下优点：不含 F 元素，不会产生 HF 腐蚀电极；分解温度高达 302℃，其电解液体系具有更强的热稳定性，能提高锂离子电池的安全性；能够在负极表面形成稳定的固态电解质(SEI)膜，甚至能够在纯聚碳酸酯(PC)中稳定石墨负极，从而使得在锂离子电池电解液体系中以 PC 替换碳酸乙烯酯(EC)成为可能，为解决电池低温使用问题提供了一种很好的选择；是一种合成原料廉价易得、制备工艺简单、环境友好的产品。1999 年公布的德国专利中报道了 LiBOB 的合成方法<sup>[6]</sup>。这种制备方法简单易行，但在反应过程中伴随着大量的水产生。Xu 等<sup>[7~8]</sup>用 Li[B(OCH<sub>3</sub>)<sub>4</sub>] 和 (CH<sub>3</sub>)<sub>3</sub>SiOOC<sub>2</sub>Si(CH<sub>3</sub>)<sub>3</sub> 在乙腈溶剂中合成了 LiBOB。该方法合成的产品纯度虽然较高，但其合成路线复杂，成本太高。Yu 等<sup>[9]</sup>提出了以固相法合成 LiBOB 的方法。在此，本文作者在原有合成方法基础上进行了改进，以改进的固相法为基础合成 LiBOB，并对合成样品纯度进行测定。

## 1 实验

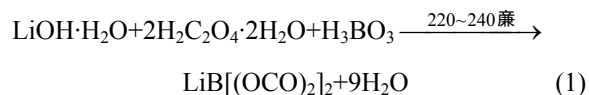
### 1.1 试剂及仪器

试剂为：H<sub>2</sub>C<sub>2</sub>O<sub>4</sub>·2H<sub>2</sub>O(纯度 99.5%，成都金山化学试剂有限公司生产)；H<sub>3</sub>BO<sub>3</sub>(纯度 99.5%，沈阳化学试剂厂生产)；LiOH·H<sub>2</sub>O(纯度 99.0%，国药集团化学试剂有限公司生产)；乙腈(分析纯，天津基准化学试剂有限公司生产)，KMnO<sub>4</sub>(分析纯，北京化学试剂公司生产)；H<sub>3</sub>BO<sub>3</sub> 基准试剂(优级纯，成都金山化学试剂有限公司生产)；甲亚胺-H 酸(自制)，0.7 mol/L LiBOB-PC/EMC/DMC(*V*(LiBOB):*V*(EMC):*V*(DMC)=1:1:1)溶液体系(自制)；金属锂片(天津化学试剂厂生产)；LiFePO<sub>4</sub>(自制)；乙炔黑(电池级，杭州君一化工有限公司生产)；聚偏氟乙烯(PVdF)(上海国药集团化学试剂有限公司生产)；1-甲基-2-吡咯烷酮(化学纯，上海国药集团化学试剂有限公司生产)。

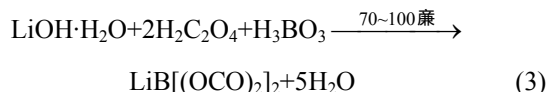
仪器为：101-2 型电热鼓风箱(上海一恒科技有限公司制造)，2XZ-1 型旋片式真空泵(上海沪一泵业制造有限公司制造)；RZ-52 型旋转蒸发仪(上海亚荣生化仪器厂制造)；DLSB 型低温冷却液循环泵(江苏金坛市华欧实验仪器厂制造)；501 型超级恒温槽(上海岩华仪器公司制造)；7320G 型可见分光光度计(上海第三分析仪器厂制造)；GBC - 932 plus 型火焰原子吸收光谱仪(澳大利亚 GBC 公司制造)；UNIlab 手套箱；CT2001A 型 LAND 电池测试系统(武汉金诺电子有限公司制造)；145A 型电导率仪(美国 Thermo 公司制造)；电池壳自制。

### 1.2 LiBOB 的合成及纯化

传统的固相合成采用如下反应：



本实验采用分步合成法制备了 LiBOB 粗产品，其合成路线如下：



首先，将 H<sub>2</sub>C<sub>2</sub>O<sub>4</sub>·2H<sub>2</sub>O 于 105~110℃ 烘干除去结晶水，得到无水的 H<sub>2</sub>C<sub>2</sub>O<sub>4</sub>，再按反应式(3)的化学计量比分别称取一定量 H<sub>2</sub>C<sub>2</sub>O<sub>4</sub> 和 LiOH·H<sub>2</sub>O，研磨，混合均匀。将混合物于 60℃ 预加热 2 h，然后，分批加入化学计量比的 H<sub>3</sub>BO<sub>3</sub>。继续混合研磨，至原料彻底研细并混合均匀为止。将得到的混合物在真空干燥箱中于 70℃ 干燥 6 h 后加入自制的干燥剂 SYZ-01，再将温度升至 100℃ 后继续真空干燥 3 h，即得 LiBOB 粗产品。

将粗产品溶于新鲜的无水乙腈中，稍微加热后滤去不溶物。滤液进行蒸发浓缩后，在-40℃ 冷冻结晶 4~5 h，过滤进行固液分离，得到白色固体。然后，将得到的固体在 70~100℃ 真空干燥 18 h，所得白色粉末即为 LiBOB 样品<sup>[10]</sup>。

### 1.3 提纯后样品纯度的测定

LiBOB 的主要成分为 C<sub>2</sub>O<sub>4</sub><sup>2-</sup>，Li<sup>+</sup>和 B(III)，通过测定这 3 种成分的含量，就可以较好地评价 LiBOB 的品质<sup>[11]</sup>。本文所指 LiBOB 的纯度为这 3 种成分质量分数之和。

#### 1.3.1 LiBOB 溶液的配制

分别准确称取 0.196 6 g 和 0.190 1 g LiBOB 1 次提纯(1 号)和 2 次提纯(2 号)后的样品，配制成 100 mL 溶液，进行化学分析。

### 1.3.2 $C_2O_4^{2-}$ 的含量测定

采用高锰酸钾滴定法测量  $C_2O_4^{2-}$  的含量。按国家标准 GB 601—88<sup>[12]</sup> 对高锰酸钾进行配制和标定, 得到  $KMnO_4$  溶液浓度为 0.113 0 mol/L。

分别准确量取 20 mL 1 号和 2 号溶液于 250 mL 锥形瓶中, 加入 100 mL 硫酸溶液, 用高锰酸钾溶液对  $C_2O_4^{2-}$  进行滴定, 平行测定 3 次。

### 1.3.3 B(III) 的含量测定

采用分光光度法—甲亚胺-H 法测硼<sup>[13]</sup>, 以试剂作空白, 用 1 cm 的比色池在波长 410 nm 处测定  $B^{3+}$  标准溶液( $B^{3+}$  标准系列为 25 mL 溶液中分别含有 0, 5.0, 10.0, 20.0, 30.0, 40.0  $\mu g B^{3+}$ )的吸光值, 绘制标准曲线(要求线性相关系数  $r = 0.995$ )。

分别准确量取 1 号和 2 号溶液 10 mL 并稀释 10 倍, 然后, 分别量取 2 mL 稀释液于 25 mL 容量瓶中, 按上述测定  $B^{3+}$  标准溶液的方法进行测定, 平行测定 3 次。

### 1.3.4 $Li^+$ 的含量测定

以火焰原子吸收光谱法<sup>[14]</sup>测定  $Li^+$  标准溶液( $Li^+$  浓度分别 0, 1.000, 2.000, 3.000, 4.000, 5.000 mg/L), 绘制标准曲线(要求线性相关系数  $r = 0.999$ )。

分别准确量取 1 号和 2 号溶液 4 mL 于 100 mL 容量瓶中定容。以火焰原子吸收光谱仪测定溶液中  $Li^+$  浓度, 平行测定 3 次。

### 1.4 LiBOB 在三元混合溶剂中的电导率

根据文献[15], LiBOB 在三元混合溶剂体系中具有较高的电导率, 在此, 选取 0.7 mol/L LiBOB 在体积比为 1:1:1 的 PC/EMC/DMC 三元混合溶剂体系中测定电导率。

准确称取一定量经 2 次提纯后的 LiBOB, 溶于体积比为 1:1:1 的 PC/EMC/DMC 三元混合溶剂中, 配制成 0.7 mol/L LiBOB-PC/EMC/DMC 的电解液, 并用电导率仪测定温度分别为 -40, -30, -20, -10, 0, 10, 20, 30, 40, 50 和 60 时的电导率。实验中有关碳酸酯溶液的配制均在手套箱内进行。实验温度分别由超级恒温槽(实验温度高于室温部分)及低温冷却液循环泵(实验温度低于室温部分)控制。

### 1.5 电池的组装及循环性能测试

以 1-甲基-2-吡咯烷酮将  $LiFePO_4$ 、乙炔黑、PVdF(质量比为 75:15:10)混合均匀后, 涂在不锈钢钉状电极上, 在 120 真空干燥 4 h, 制得  $LiFePO_4$  电极。以  $LiFePO_4$  为正极, 锂片为负极, 0.7 mol/L LiBOB-PC/EMC/DMC 电解液体系组装  $LiFePO_4/Li$  实验电池<sup>[16]</sup>, 用电池测试系统测试电池的电化学性能。电压为 4.2~2.7 V。

## 2 结果与讨论

### 2.1 合成方法的改进

与文献[9]中的固相制备方法相比, 本文制备方法有效提高了原料利用率和 LiBOB 样品的纯度, 其原因在于:

(1) 对原料进行了预处理, 以制得的无水  $H_2C_2O_4$  为起始反应物; 将  $H_2C_2O_4 \cdot 2H_2O$  进行预处理, 脱掉结晶水。

(2) 增加了预加热步骤。将  $H_2C_2O_4$  与  $LiOH \cdot H_2O$  研磨混合后预热, 将产生的水除去, 进一步降低了反应体系中水的含量。

(3) 改变了原料混合方式。3 种原料一起搅拌研磨时, 由于酸碱中和反应而生成水, 致使混合物变得潮湿而不利于混合均匀。通过先混合研磨  $H_2C_2O_4$  及  $LiOH \cdot H_2O$ , 并预加热至混合物干燥后再分批加入  $H_3BO_3$  进行混合研磨的方法, 有效提高了原料的混合程度。

(4) 在样品干燥过程中使用干燥剂进行保护, 克服了制备过程中对气氛保护条件要求比较苛刻的不足。

### 2.2 各组分含量测定结果

#### 2.2.1 $C_2O_4^{2-}$ 的含量分析结果

表 1 所示为滴定草酸根消耗高锰酸钾标准溶液的体积及计算结果。

表 1 滴定  $C_2O_4^{2-}$  过程消耗  $KMnO_4$  溶液体积及计算结果

Table 1 Volume consumption of  $KMnO_4$  solution during determine  $C_2O_4^{2-}$  and calculated results

样品	$V(KMnO_4)/mL$			$w(C_2O_4^{2-})/\%$	$R/\%$
	1	2	3		
1 号	7.05	7.10	7.07	89.46	0.36
2 号	6.95	6.90	6.98	90.82	0.48

注:  $R$  为相对标准偏差。

LiBOB 样品中的  $C_2O_4^{2-}$  含量可按式(4)和(5)进行计算:

$$n(C_2O_4^{2-}) = \frac{c(KMnO_4) \times V(KMnO_4)}{2V(C_2O_4^{2-})} \times 0.1 \quad (4)$$

$$w(C_2O_4^{2-}) = \frac{n(C_2O_4^{2-}) \times M(C_2O_4^{2-})}{m(LiBOB)} \times 100\% \quad (5)$$

式中:  $n(C_2O_4^{2-})$  为  $C_2O_4^{2-}$  的物质的量, mol;  $c(KMnO_4)$

为  $\text{KMnO}_4$  的浓度,  $\text{mol/L}$ ;  $V$  为体积,  $\text{mL}$ ;  $M(\text{C}_2\text{O}_4^{2-})$  为  $\text{C}_2\text{O}_4^{2-}$  的摩尔质量,  $\text{g/mol}$ ;  $m(\text{LiBOB})$  为 LiBOB 的质量,  $\text{g}$ ;  $w(\text{C}_2\text{O}_4^{2-})$  为  $\text{C}_2\text{O}_4^{2-}$  的质量分数, %。

计算结果表明: 1 号样品中,  $\text{C}_2\text{O}_4^{2-}$  的平均含量为 89.46%, 略低于理论值(90.84%), 说明样品纯度不够高; 2 号样品中,  $\text{C}_2\text{O}_4^{2-}$  的平均含量为 90.82%, 与理论值非常接近, 说明经过二次纯化得到较纯的样品。3 次实验结果的相对标准偏差分别为 0.36% 和 0.48%, 说明该方法具有较高的准确度和较好的重现性, 可用来测定 LiBOB 中  $\text{C}_2\text{O}_4^{2-}$  含量。

### 2.2.2 B( III)的含量分析结果

LiBOB 纯化样品中 B( )的含量如表 2 所示。由表 2 可得: 1 号样品 B( )的平均含量为 5.55%, 2 号样品 B( )的平均含量为 5.56%, 均非常接近理论值 5.58%, 说明样品纯度较高。3 次实验结果的相对标准偏差分别为 0.43% 和 0.59%, 说明该法能较准确地测定样品中 B( )的含量, 可用于 LiBOB 中 B( )的测定。

表 2 LiBOB 纯化样品中 B( )的含量

Table 2 Concentrations of B( ) in purified LiBOB

样品	$A$	$m/\mu\text{g}$	$w(\text{B}( ))/\%$	$R/\%$
S <sub>1</sub>	0.099	5.00		
S <sub>2</sub>	0.180	10.00		
S <sub>3</sub>	0.339	20.00		
S <sub>4</sub>	0.511	30.00		
S <sub>5</sub>	0.652	40.00		
Y <sub>1</sub>	0.366	21.93	5.58	
Y <sub>2</sub>	0.363	21.75	5.53	0.43
Y <sub>3</sub>	0.364	21.81	5.55	
Y <sub>4</sub>	0.351	21.00	5.53	
Y <sub>5</sub>	0.354	21.21	5.58	0.59
Y <sub>6</sub>	0.353	21.15	5.56	

注: S<sub>1</sub>~S<sub>5</sub> 为 5 个标准  $\text{B}^{3+}$  溶液; Y<sub>1</sub>, Y<sub>2</sub> 和 Y<sub>3</sub> 为 3 个 1 号样品溶液; Y<sub>4</sub>, Y<sub>5</sub> 和 Y<sub>6</sub> 为 3 个 2 号样品溶液; A 为吸光值。

### 2.2.3 $\text{Li}^+$ 含量分析结果

LiBOB 纯化样品中  $\text{Li}^+$  含量如表 3 所示。由表 3 可知: 1 号样品(即 Y<sub>1</sub>, Y<sub>2</sub> 和 Y<sub>3</sub>)  $\text{Li}^+$  含量的平均值为 3.15%, 低于理论值(3.58%), 2 号样品(即 Y<sub>4</sub>, Y<sub>5</sub> 和 Y<sub>6</sub>)  $\text{Li}^+$  含量的平均值为 3.26%, 也低于理论值。但由测定的  $\text{C}_2\text{O}_4^{2-}$  和 B( ) 的含量可知, 经 2 次提纯后的样

品中两者测定结果均十分接近理论值, 说明经 2 次提纯后的样品纯度较高。用原子吸收光谱法测定的  $\text{Li}^+$  含量偏低, 可能是测定过程中原子吸收光谱仪灯电流衰减, 造成测定值比实际值偏低。

$\text{C}_2\text{O}_4^{2-}$ ,  $\text{Li}^+$  和 B( ) 各有不同的测定方法, 对纯化后的 LiBOB 中  $\text{C}_2\text{O}_4^{2-}$ ,  $\text{Li}^+$  和 B( ) 三者含量的测定可知: 经 2 次提纯后的样品满足用作锂离子二次电池电解质的标准(一般要求锂盐纯度 99.5%)。一次纯化后主含量( $c(\text{C}_2\text{O}_4^{2-})+c(\text{Li}^+)+c(\text{B}( ))$ ) 为 98.16%。这虽然较提纯前的 LiBOB 主含量高, 但仍然难以达到用作锂离子二次电池电解质锂盐的标准。而 2 次提纯后主含量( $c(\text{C}_2\text{O}_4^{2-})+c(\text{Li}^+)+c(\text{B}( ))$ ) 为 99.64%, 满足用作锂离子二次电池电解质的标准。

表 3 LiBOB 纯化样品中  $\text{Li}^+$  的含量

Table 3 Concentrations of  $\text{Li}^+$  in purified LiBOB

样品	$A$	$\rho/(\text{mg}\cdot\text{L}^{-1})$	$w(\text{Li}^+)/\%$	$R/\%$
S <sub>1</sub>	0.117	1.000		
S <sub>2</sub>	0.223	2.000		
S <sub>3</sub>	0.320	3.000		
S <sub>4</sub>	0.415	4.000		
S <sub>5</sub>	0.511	5.000		
Y <sub>1</sub>	0.260	2.488	3.16	
Y <sub>2</sub>	0.256	2.456	3.12	0.71
Y <sub>3</sub>	0.259	2.485	3.16	
Y <sub>4</sub>	0.262	2.514	3.31	
Y <sub>5</sub>	0.258	2.477	3.26	1.33
Y <sub>6</sub>	0.255	2.448	3.22	

注: S<sub>1</sub>~S<sub>5</sub> 为 5 个  $\text{Li}^+$  标准溶液。

### 2.3 不同温度下的电导率

不同温度下, 0.7 mol/L LiBOB 在三元等体积混合溶剂体系 PC/EMC/DMC 中的电导率如图 1 所示。

判断一种有机碳酸酯溶液能否用作锂离子二次电池电解液, 最主要也是最容易检测的方法就是室温离子电导率是否大于 1 mS/cm<sup>[17]</sup>。故在此测定了 LiBOB 在三元混合溶剂 PC/EMC/DMC 中的电导率。

由图 1 可知: 当温度由 -40.0 升高至 60.0 时, 0.7 mol/L LiBOB-PC/EMC/DMC (体积比为 1:1:1) 溶液的电导率由 0.672 mS/cm 增加到 9.210 mS/cm, 室温(20 ) 下的电导率为 5.400 mS/cm, 该溶液体系电导率较高。

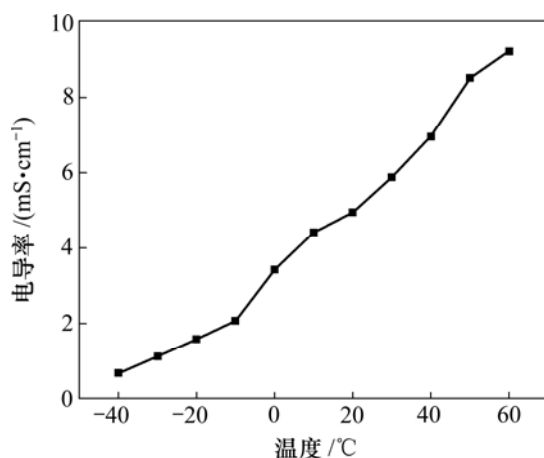


图 1 不同温度下 LiBOB 在三元等体积混合溶剂体系中的电导率

Fig.1 Change of conductivity at various ternary solvents and different temperatures

#### 2.4 电池循环性能测试

LiFePO<sub>4</sub>/Li 电池在室温时 0.5C(1C=150 mA/g)下的放电性能如图 2 所示。

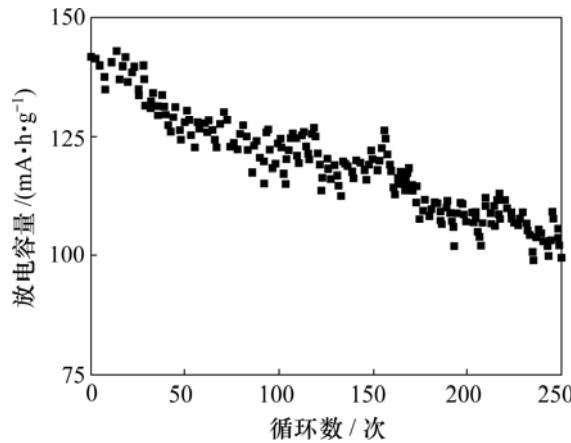


图 2 LiFePO<sub>4</sub>/Li 电池在室温、0.5C 时循环的放电性能  
Fig.2 Discharge performance of LiFePO<sub>4</sub>/Li batteries at 0.5C cycle and room temperature

由图 2 可知, 基于 LiBOB 的电池可平稳放电, 250 次循环后容量略有衰减。所制备的 LiBOB 组装的电池具有较强的循环稳定性, 其纯度达到了用作电池电解质锂盐的标准。

图 3 所示为 LiFePO<sub>4</sub>/Li 电池首次循环的电压-容量曲线。

由图 3 可知: 电池的充放电平台明显, 且 2 个平台间电势差较小, 电池的首次放电比容量为 141.9 mA·h/g, 循环效率接近 100%。

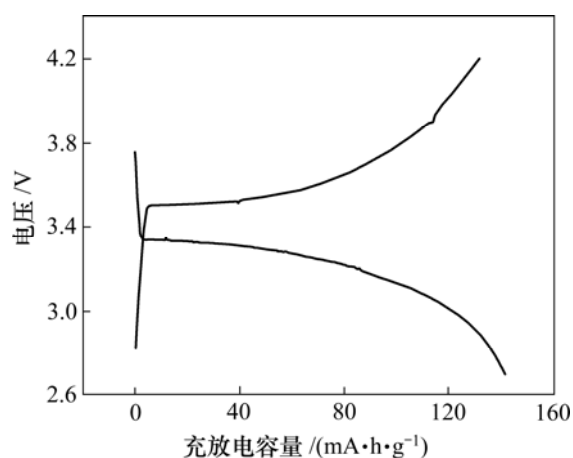


图 3 在室温、0.5C 下 LiFePO<sub>4</sub>/Li 电池首次循环的电压-容量曲线

Fig.3 Capacity density-voltage curves of LiFePO<sub>4</sub>/Li cells in initial cycle at 0.5C cycle and room temperature

### 3 结论

(1) 用改进的固相法合成了 LiBOB 并提高了原料的利用率和样品的纯度。改进的固相法对原料进行了预处理, 增加了预加热步骤, 改变了原料混合顺序和混合方式; 在样品干燥过程中使用干燥剂进行保护, 克服了制备过程中对气氛保护条件要求比较苛刻的不足。

(2) 对合成的 LiBOB 粗产品进行了 2 次纯化。1 次纯化后主含量为 98.16%, 2 次提纯后主含量为 99.64%, 经过 2 次提纯后, LiBOB 已达到了二次电池用电解质的标准。

(3) 用所制备的 LiBOB 配制成 0.7 mol/L LiBOB-PC/EMC/DMC 的等体积三元混合电解液, 该体系在较宽温度范围内(-40.0~60.0 )的电导率较高, 室温下的电导率为 5.400 mS/cm, 符合用作二次电池电解液的要求。

(4) 用制备的电解液组装的电池, 循环性能较好, 所制 LiBOB 达到用作电池电解质锂盐的标准。

### 参考文献:

- [1] 张宝, 张明, 李新海, 等. 锂离子电池正极材料 LiNi<sub>0.45</sub>Co<sub>0.10</sub>Mn<sub>0.45</sub>O<sub>2</sub> 的合成及电化学性能[J]. 中南大学学报: 自然科学版, 2008, 39(1): 75~79.  
ZHANG Bao, ZHANG Ming, LI Xin-hai, et al. Synthesis and electrochemical properties of LiNi<sub>0.45</sub>Co<sub>0.10</sub>Mn<sub>0.45</sub>O<sub>2</sub> cathode

- material for lithium ion batteries[J]. Journal of Central South University: Science and Technology, 2008, 39(1): 75–79.
- [2] HU Guo-rong, DENG Xin-rong, PENG Zhong-dong, et al. Preparation of spherical and dense  $\text{LiNi}_{0.8}\text{Co}_{0.2}\text{O}_4$  lithium-ion battery particles by spray pyrolysis[J]. Journal of Central South University of Technology, 2008, 15(1): 29–33.
- [3] 胡传跃, 李新海, 王志兴, 等. 锂离子电池电解液过充添加剂的行为[J]. 中国有色金属学报, 2004, 14(12): 2125–2130.  
HU Chuan-yue, LI Xin-hai, WANG Zhi-xing, et al. Behavior of overcharging additions for electrolyte used in Li-ion batteries[J]. The Chinese Journal of Nonferrous Metals, 2004, 14(12): 2125–2130.
- [4] 蒲薇华, 何向明, 王莉, 等. 新型锂离子电池锂盐 LiBOB 研究进展[J]. 云南大学学报: 自然科学版, 2005, 27(5A): 479–483.  
PU Wei-hua, HE Xiang-ming, WANG Li, et al. The development of lithium salts LiBOB for Li-ion battery electrolytes[J]. Journal of Yunnan University: Science and Technology, 2005, 27(5A): 479–483.
- [5] 王赛, 仇卫华, 余碧涛, 等. 锂离子电池电解质盐双草酸硼酸锂的研究进展[J]. 电池, 2006, 36(3): 231–233.  
WANG Sai, QIU Wei-hua, YU Bi-tao, et al. Research progress in lithium bis(oxalato) borate for Li-ion battery electrolytes[J]. Battery Bimonthly, 2006, 36(3): 231–233.
- [6] Lischka U, Wietelmann U, Wegner M. Lithium bisoxalatoborate, the production thereof and its use as a conducting salt: Germany, DE 19 829 030[P]. 1999-10-07.
- [7] Xu W, Angell C A. LiBOB and its derivatives weakly coordinating anions, and the exceptional conductivity of their nonaqueous solutions[J]. Electrochim Solid-State Lett, 2001, 4(1): E1–E4.
- [8] Angell C A, Xu W. Non-aqueous electrolytic solution: USA, US 0 034 235 A1[P]. 2001-07-12.
- [9] Yu B T, Qiu W H, Li F S, et al. The electrochemical characterization of lithium bis(oxalato) borate synthesized by a novel method[J]. Electrochim Solid-State Lett, 2006, 9(1): A1–A4.
- [10] 李世友, 马培华, 邓小川, 等. 一种双乙二酸硼酸锂的提纯方法: 中国, CN 100999529A[P]. 2006.  
LI Shi-you, MA Pei-hua, DENG Xiao-chuan, et al. A method of purifying lithium bis(oxalato) borate: China, CN 100999529A[P]. 2006.
- [11] 韩周祥, 魏剑英, 蔺常辉, 等. 导电锂盐 LiBOB 各组分含量的测定[J]. 电池, 2006, 36(2): 159–161.  
HAN Zhou-xiang, WEI Jian-ying, LIN Chang-hui, et al. Determination of the component content of conductive lithium salt LiBOB[J]. Battery Bimonthly, 2006, 36(2): 159–161.
- [12] GB 601—88, 化学试剂—滴定分析(容量分析)用标准溶液的制备[S].  
GB 601 — 88, Chemical reagent-Preparation of standard solution of titration (capacity analysis)[S].
- [13] 中国科学院青海盐湖研究所分析室. 卤水和盐的分析方法 [M]. 北京: 科学出版社, 1988: 97–101.  
Lab of Qinghai Institute of Salt Lakes, Chinese Academy of Sciences. The analytical methods of salt brine and salt[M]. Beijing: Science Press, 1988: 97–101.
- [14] 李雯. 电解质六氟磷酸锂的表征与研究[D]. 西宁: 中国科学院青海盐湖研究所, 2004: 58–63.  
LI Wen. Study and application on the analysis of lithium hexafluorophosphate[D]. Xining: Qinghai Institute of Salt Lakes, Chinese Academy of Sciences, 2004: 58–63.
- [15] 李世友. 锂离子二次电池新型电解质锂盐 LiBOB 的制备及性能研究[D]. 西宁: 中国科学院青海盐湖研究所, 2008: 57–82.  
LI Shi-you. Synthesis and performance studies on the novel Li-ion battery electrolyte LiBOB[D]. Xining: Qinghai Institute of Salt Lakes, Chinese Academy of Sciences, 2008: 57–82.
- [16] 卜源, 马晓华, 杨清河, 等. 一种用于锂离子电池的阻燃添加剂[J]. 电池, 2006, 36(1): 8–9.  
BU Yuan, MA Xiao-hua, YANG Qing-he, et al. A flame retardant additive for Li-ion battery[J]. Battery Bimonthly, 2006, 36(1): 8–9.
- [17] 郭炳琨, 徐徽, 王先友, 等. 锂离子电池[M]. 长沙: 中南大学出版社, 2002: 188–189.  
GUO Bing-kun, XU Hui, WANG Xian-you, et al. Li-ion battery[M]. Changsha: Central South University Press, 2002: 188–189.

(编辑 赵俊)